

## ОПТИМІЗАЦІЯ КОНСТРУКТИВНИХ ПАРАМЕТРІВ ДИСКОВИХ КОПАЧІВ

Р.Б.ГЕВКО, к.т.н.; О.Б.ПАВЕЛЧАК, інженер

В загальному вигляді оптимізація дискових копачів є багатокритеріальною задачею нелінійного програмування, в якій шукані параметри повинні відповісти вимогам мінімізації пошкоджень, втрат, крутного моменту на диску і загальних енерговитрат [1].

Враховуючи те, що з експлуатаційної точки зору конструктивно найбільш вразливим є питання надійності редукторів копачів, то за критерій якості доцільно взяти функцію

$$f_\theta = \alpha_1 M + \alpha_2 Q_x \frac{v_M}{\omega} \quad (1)$$

де  $M$  - крутний момент на диску копача;

$Q_x$  - осьове зусилля на кронштейні копача по ходу машини (лобова сила опору);

$v_M$  - швидкість бурякозбиральної машини;

$\omega$  - кутова швидкість диска копача;

$\alpha_1$  та  $\alpha_2$  - коефіцієнти вагомості, що в першу чергу враховують конструктивні особливості копача та їх надійність і вибираються із умови

$$\frac{\alpha_1}{\alpha_1 + \alpha_2} = 0.7 \dots 0.9$$

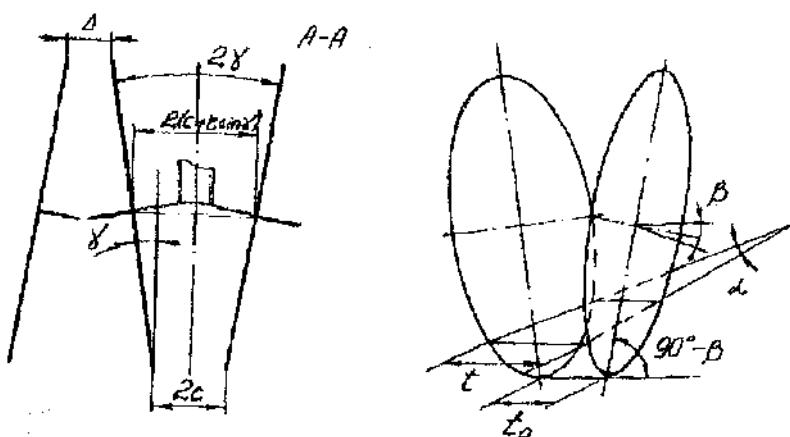
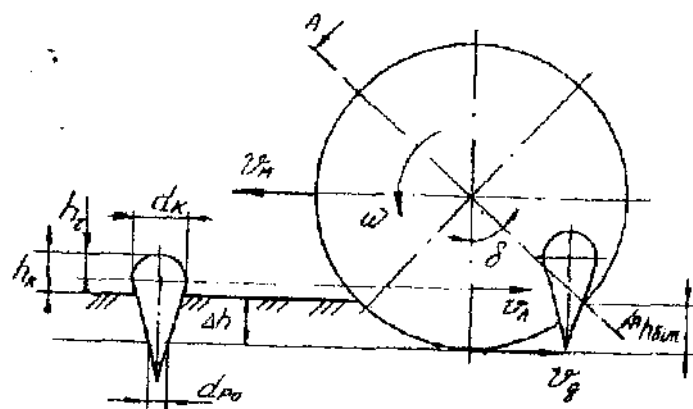
Згідно [2]

$$M = \mu \rho_{cp} \sqrt{2r^3 \Delta h^3} \left( 1 - \frac{\Delta h}{2r} \right) \frac{v_M (v_\theta - v_M)}{v_\theta^2}, \quad (2)$$

$$Q_x = k_Q M = \frac{2(\cos \beta \sin \alpha - \mu k_X \cos \alpha) M}{\mu \left( r - \frac{\Delta h}{2 \cos \beta} \right)}$$

де  $r$  - радіус кромки диска копача;

$\Delta h$  - глибина заглиблennя дисків;



**Рис.1. Розрахункова схема до визначення оптимальних конструктивних параметрів копачів.**

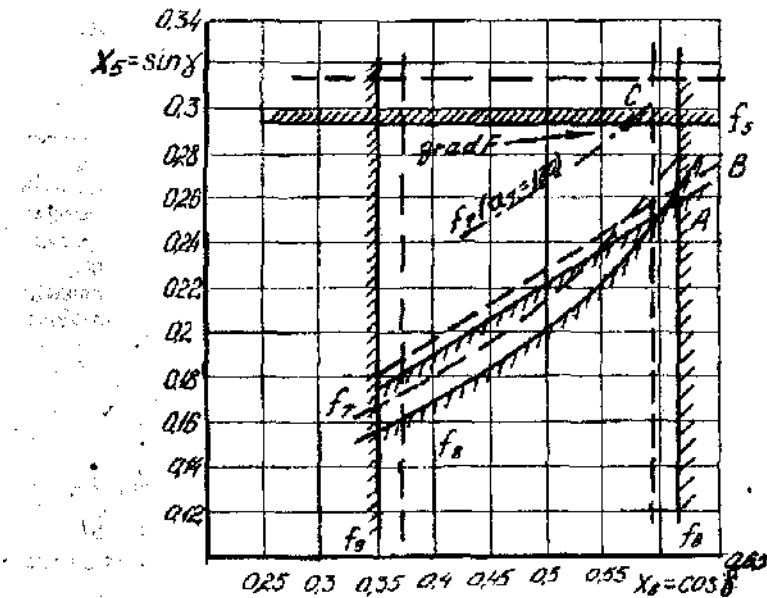


Рис.2. Область визначення параметрів  $x_5$  та  $x_6$  обмежена функціями  $f_i$  при заглибленні копачів  $h \leq 100$ : А, В, С - точки можливого розміщення оптимальних значень; для копачів радіусом  $r=340\text{мм}$ ; для  $r=320\text{ мм}$

$2\alpha$  - кут розхилу копачів в перетині з горизонтальною площинами;

$\beta$  - кут нахилу осі диска до горизонтальної площини;

$v_\delta$  - лінійна швидкість кромки диска,  $v_\delta = \omega \cdot r$ .

За незалежні параметри  $x_i$ , що описують конструкцію дискових копачів і режими їх роботи, які підлягають оптимізації з метою мінімізації цільової функції, приймаємо лінійну кутову швидкість машини  $x_1 = v_M$  швидкість обертання дисков  $x_2 = \omega$  радіус диска  $x_3 = r$ , глибину заглиблення  $x_4 = \Delta h$ , а також кути встановлення диска  $\alpha$  та  $\beta$ , рис.1.

З метою зменшення рівня складності задачі за незалежні кутові параметри доцільно приймати кут нахилу дисков один до другого  $2\gamma$  та кут атаки  $\delta$  (кут повороту ліній максимального розхилу від вертикальної осі), тобто приймемо  $x_5 = \sin \gamma$ ;  $x_6 = \cos \delta$ ;

Вказані параметри  $\gamma$  та  $\delta$  із кутами просторового розміщення дисков  $\alpha$  та  $\beta$  пов'язані залежностями:

$$\operatorname{tg} \delta = \frac{\sin \alpha}{\operatorname{tg} \beta}; \cos \gamma = \cos \alpha \cos \beta. \quad (4)$$

Отже множина незалежних параметрів  $x$ , буде складати

$$\{x_i\} = \{v_M, \omega, r, \Delta h, \sin \gamma, \cos \delta\}$$

На їх зміну накладаються фізичні, конструкторсько-технологічні та експлуатаційні обмеження із яких виділимо найбільш значущі.

1. Обмеження експлуатаційної швидкості машини із умовою неперевищенння значення  $v_{max}$ , що приводить до збільшення атрат вище допустимих значень [1], чи різкого збільшення потужності збирання

$$x_1 = v_M \leq v_{max} \quad (5)$$

Представимо цю умову у вигляді функції обмеження

$$f_1 = x_1 - v_{max} \leq 0 \quad (6)$$

2. Обмеження мінімальної кутової швидкості диска із умовою затягування коренеплоду дисками і попередження його злому. Для цього лінійна швидкість поверхні дисків на радіусі, що відповідає рівню максимальних діаметрів коренеплодів, повинна перевищувати лінійну швидкість машини (рис.1), тобто

$$v_A = \omega r_K = \omega(r - \Delta h - h_K + h_r) > v_M$$

де  $h_r$  та  $h_K$  - відповідно висота головки коренеплоду та висота рівня їх розміщення відносно поверхні ґрунту. Розрахункові значення згідно [1] становлять  $h_r = 32,4 \text{ мм}$ ,  $h_K = 42,4 \text{ мм}$ .

Відповідно функція обмеження

$$f_2 = -(x_3 - x_4 - h_K + h_r)x_2 + x_1 \leq 0. \quad (8)$$

3. Обмеження радіуса дисків  $r$  не менше мінімального значення  $r_{min}$ , що визначається конструктивно із врахуванням ширини ріжучого леза, необхідних розмірів просівних отворів дисків, діаметру редукторів копачів, отже можна представити функцію

$$f_3 = r_{min} - x_3 \leq 0. \quad (9)$$

4. Обмеження по глибині копання із умовою збирання коренеплодів при максимальній врожайності, де регульована глибина копання  $\Delta h_p = 100 \text{ мм}$ . Зобразимо у вигляді

$$f_4 = -x_4 + \Delta h_p \leq 0. \quad (10)$$

5. Обмеження, що накладаються шириною міжрядь і необхідністю компонування машини [1]

$$4r \sin \gamma \leq b - 2c - \Delta, \quad (11)$$

де  $b$  - ширина міжрядь;

$\Delta$  - мінімально допустима віддаль між дисками суміжних копачів;  
 $2c$  - максимальне значення регульованої віддалі між дисками одного копача.

Функція обмеження буде

$$f_5 = x_3 x_5 - a_5 \leq 0 \quad (12)$$

$$\text{де } a_5 = \frac{b - 2c - \Delta}{4}.$$

6. Обмеження мінімального значення кута атаки із умови розтиску коренеплода по висоті  $h_{\min}$ , достатній для його захвату бітером, тобто

$$r - r \cos \delta \geq h_{\min}, \quad (13)$$

$$\text{чи } f_6 = -x_3(I - x_6) + h_{\min} \leq 0. \quad (14)$$

7. Обмеження на мінімальну величину розхилу дисків із умови непідрізання коренеплодів великого діаметру  $d_K$  при допустимому його відхиленні в ряду  $\Delta_{\text{рк}}$ .

При цьому ширина захоплення  $t \geq a_7$ , у міждисковому просторі на рівні ґрунту повинна бути

[1]

$$t = \sin \gamma \left[ r + \frac{\Delta h - r(1 - \sin \delta)}{\cos \delta} \right] \geq d_K + 2\Delta_{\text{рк}} = a_7. \quad (15)$$

Відповідно функція обмеження

$$f_7 = a_7 x_6 - x_5 \left[ x_3 \left( x_6 - I + \sqrt{I - x_6^2} \right) + x_4 \right] \leq 0$$

(16)

8. Обмеження на мінімальний розхил  $t_0$  в нижній точці дисків копачів, що вводиться як додаткове при іх конструкціоненні із зменшеним радіусом

$$t_0 = 2[C + r(I - \cos \delta) \sin \gamma] \geq d_{po}, \quad (17)$$

де  $d_{po}$  - розрахункова величина діаметра коренеплоду на рівні нижньої кромки копачів із врахуванням його зміщення.

Тоді

$$f_8 = a_8 - x_3 x_5 (1 - x_6) \leq 0 \quad (18)$$

де  $a_8 = \frac{d_{\rho_0}}{2} - C$  - параметр функції  $f_8$ .

9. Із умови незатягування коренеплодів когачами точка мінімального сходження дисків повинна бути розміщена нижче їх осової лінії на величину  $\varepsilon$ , тобто  $r \cos \delta \geq \varepsilon$ .

Відповідно

$$f_9 = -x_3 x_6 + \varepsilon \leq 0 \quad (19)$$

Аналіз зміни цільової функції  $f_\theta$  в області допустимих значень  $\{x_i\}$

визначення точки оптимуму проводимо з використанням умови Куна-Таккера [3], якаполягає у існуванні таких множників

$$u_i \geq 0, i = 1 \dots n, \text{що } u_i f_i = 0 \text{ та } \frac{\partial \Phi(u_i, x_i)}{\partial x_i} = 0,$$

де  $\Phi(u_i, x_i) = f_\theta + \sum u_i f_i$  - функція Лагранжа.

Визначимо часткові похідні функції Лагранжа

$$\frac{\partial \Phi(u_i, x_i)}{\partial x_1} = \frac{\partial f_\theta}{\partial x_1} + u_1 + u_2 = 0;$$

$$\frac{\partial \Phi(u_i, x_i)}{\partial x_2} = \frac{\partial f_\theta}{\partial x_2} + u_2 (x_3 - x_4 + h_r - h_l) = 0; \quad (20)$$

$$\frac{\partial \Phi(u_i, x_i)}{\partial x_3} = \frac{\partial f_\theta}{\partial x_3} + u_2 k_2 - u_3 + u_5 x_5 - u_6 -$$

$$- u_7 x_5 (x_6 - 1 + \sqrt{1 - x_6^2}) - u_8 x_5 (1 - x_6^2) - u_9 x_6 = 0$$

$$\frac{\partial \Phi(u_i, x_i)}{\partial x_4} = \frac{\partial f_\theta}{\partial x_4} + u_2 x_2 - u_4 - u_7 x_5 = 0;$$

$$\frac{\partial \Phi(u_i, x_i)}{\partial x_5} = \frac{\partial f_0}{\partial x_5} + u_5 x_3 - u_7 x_3 \left( x_6 - 1 + \sqrt{1 - x_6^2} \right) - u_8 x_3 \left( 1 - x_6 \right) = 0,$$

$$\frac{\partial \Phi(u_i, x_i)}{\partial x_6} = \frac{\partial f_0}{\partial x_6} + u_6 x_3 + u_7 \left( a_7 - x_3 x_5 \left( 1 - \frac{2x_6}{\sqrt{1 - x_6^2}} \right) \right) + u_8 x_3 x_5 - u_9 x_3 = 0.$$

Аналіз цільової функції показує, що в області визначення параметрів  $x_i$ , що задаються функціями обмежень  $f_i$ , цільова функція не має глобального мінімуму і її часткові похідні відмінні від нуля, причому

$$\frac{\partial f_0}{\partial x_1} < 0; \frac{\partial f_0}{\partial x_2} > 0; \frac{\partial f_0}{\partial x_3} > 0; \frac{\partial f_0}{\partial x_4} > 0; \frac{\partial f_0}{\partial x_5} > 0; \frac{\partial f_0}{\partial x_6} > 0; \quad (21)$$

Із всіх теоретично можливих варіантів розв'язку даної задачі нелінійного програмування шляхом перебору вибираємо три, що можуть мати місце при реальному проектуванні дискових копачів бурякоабіральних машин.

В першому варіанті координати  $x_i$ ; точки оптимуму визначаються із спільного розв'язку системи складеної із таких обмежень

$$f_1 = 0, f_2 = 0, f_3 = 0, f_4 = 0, f_5 = 0, f_6 = 0. \quad (22)$$

Звідси шукані змінні визначаються за залежностями:

$$x_1 = v_M = v_{max};$$

$$x_2 = 0 = \frac{x_1}{x_3 - x_4 - h_K + h_r} = \frac{v_{max}}{r_{min} - \Delta h_p - h_K + h_r};$$

$$x_3 = r = r_{min};$$

$$x_4 = \Delta h = \Delta h_p;$$

$$x_5 = \cos \delta = 1 - \frac{a_6}{x_3} = 1 - \frac{h_{6min}}{r_{min}};$$

$$x_6 = \sin \gamma = \frac{a_7 x_6}{x_3 \left( x_6 - 1 + \sqrt{1 - x_6^2} + x_4 \right)} = \frac{(d_K + Z \Delta_{pna}) \cos \delta}{r_{min} \sin \delta - h_{6min} + \Delta h_p}$$

У випадку коли порушується обмеження  $f_5 \leq 0$ , то пошук координат точок оптимуму шукають із спільного розв'язку системи

$$f_1 = \theta, f_2 = \theta, f_4 = \theta, f_5 = \theta, f_6 = \theta, f_7 = \theta. \quad (24)$$

В цьому випадку швидкість машини  $v_M$ , кутова швидкість колачів  $\omega$  та глибина заглиблення  $\Delta h$  визначаються також, як і в попередньому випадку, а параметри  $r$ ,  $\gamma$  та  $\delta$  відповідно із залежностей

$$r = h_{\text{sim}} \frac{h_{\text{sim}}}{(1 - \cos \delta)};$$

$$\sin \gamma = \frac{(b - 2c - \Delta)(1 - \cos \delta)}{4h_{\text{sim}}} = \frac{(b - 2c - \Delta)}{4r};$$

$$\cos \delta = \frac{1}{2a'} \left[ \sqrt{b'^2 - 4a'c'} + b' \right],$$

$$a' = \left[ \frac{4(d_K + 2\Delta_{\text{sim}})}{b - 2c - \Delta} - \frac{\Delta h}{h_{\text{sim}}} - I \right]^2 + I;$$

$$b' = +2 \left[ I + \frac{\Delta h}{h_{\text{sim}}} - \frac{4(d_K + 2\Delta_{\text{sim}})}{b - 2c - \Delta} \right]; c' = \left( I + \frac{\Delta h}{h_{\text{sim}}} \right)^2 - I.$$

У випадку, коли отримані значення шуканих величин не задовільняють умову  $f_8 \leq 0$ , то точку оптимуму шукають із систем

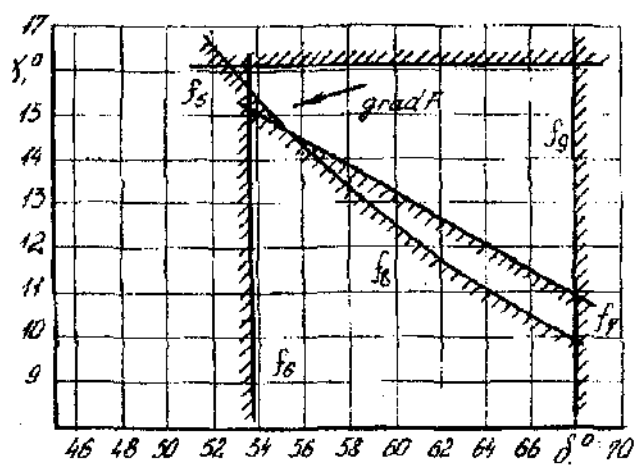
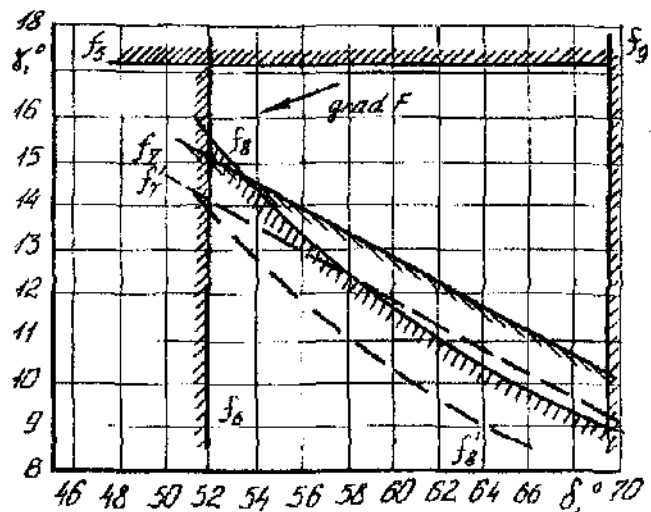
$$f_1 = \theta, f_2 = \theta, f_4 = \theta, f_5 = \theta, f_7 = \theta, f_8 = \theta.$$

Звідки

$$\cos \delta = I - \frac{2(d_K + 2\Delta_{\text{sim}})}{b - 2c - \Delta}; \quad (26)$$

$$\sin \gamma = \frac{(b - 2c - \Delta)(\cos \delta + \sin \delta - I) - 4(d_K + 2\Delta_{\text{sim}})\cos \delta}{\Delta h};$$

$$r = \frac{b - 2c - \Delta}{4 \sin \gamma}.$$



Діаграма 3. Схема розміщення оптимальних значень кута нахилу диска в між собою та кута атаки  $\alpha$  для:  $a-r=340$  мм,  $b-r=320$  мм.

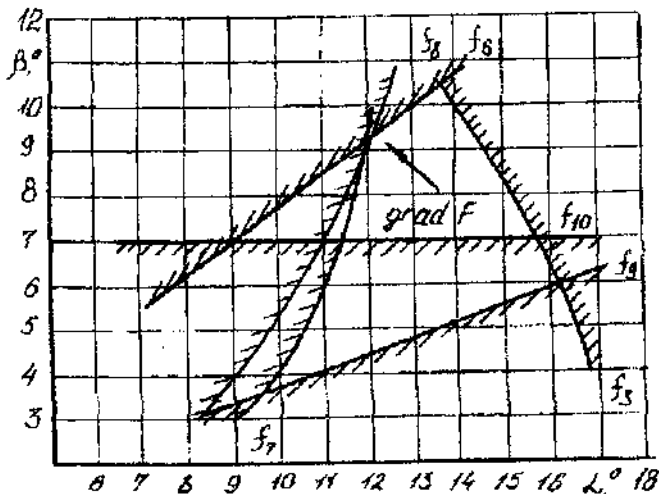


Рис.4. Схема розміщення оптимальних значень кута α розвалу копачів та нахилу осі диска до горизонтальної площини β для копачів з радіусом r=340 мм..

За визначеними кутовими параметрами  $\delta$  та  $\gamma$  значення інших кутових параметрів  $\alpha$  та  $\beta$  просторового розміщення диску, у відповідності (4), проводиться залежностями

$$\alpha = \operatorname{arctg}(\lg \gamma \sin \delta);$$

$$\beta = \arcsin(\sin \gamma \cos \delta). \quad (27)$$

На рис.2 показані області зміни параметрів  $x_3$  та  $x_4$ , і можливі варіанти розміщення точок оптимуму, що відповідають різним розрахунковим схемам. Відповідно на рис.3 показані зміни та зона оптимального розміщення кутів атаки  $\delta$  та нахилу дисків  $\gamma$ , а на рис.4 - кутів розвалу копачів  $\alpha$  та нахилу осі диска до горизонтальної площини  $\beta$ .

При користуванні схемою рис.4 доцільно ввести додаткове обмеження  $f_{10}$ , що уточнює визначення кута  $\beta$ . Згідно [1] та експлуатаційних даних розміщення дисків із кутом нахилу  $\beta < 70$  недоцільне.

Вказана методика розрахунку, що полягає в почерговому переборі даних варіантів, які задовільняють всі вказані обмеження, дозволяє аналітичним шляхом визначити оптимальні конструктивні параметри дискового копача та режим роботи коренезбиральної машини і може бути покладена в основу системи автоматизованого або іншого проектування виконувально-очисних систем.

#### Список літератури

- Свеклоуборочные машины.(Конструирование и расчет)/Л.В.Погорелый, Н.В.Татьянко, В.В.Брей и др.Под общ.ред.Л.В.Погорелого.-К.:Техника, 1985.-168 с.
- Гевко Р.Б. Викопувально-очисні пристрої бурякозбиральних машин.: Тернопіль, 1997.
- Хог Э., Аорра Я.Прикладное оптимальное проектирование. Механические системы и конструкции. М., 1977.